

УДК 539.3

ИЗГИБНЫЕ КОЛЕБАНИЯ ПЬЕЗОЭЛЕКТРИЧЕСКОГО БИМОРФА С ВНУТРЕННИМ РАЗРЕЗНЫМ ЭЛЕКТРОДОМ

А. О. Ватульян, А. А. Рынкова

Ростовский государственный университет, 344090 Ростов-на-Дону

Исследуются стационарные колебания биморфной пластины, состоящей из двух пьезо-керамических слоев одинаковой толщины. Между слоями находится бесконечно тонкий разрезной электрод. Предложена модель колебаний изгиба биморфа, основанная на вариационном уравнении, обобщающем принцип Гамильтона в электроупругости. Для плоской задачи построена система уравнений движения, сформулированы граничные условия и условия сопряжения на границе раздела областей разрезного электрода. Для пьезокерамики ЦТС-19 рассчитаны частоты резонанса и антирезонанса. Полученные значения сравниваются с результатами расчетов по классической модели Кирхгофа и методу конечного элемента. Показано, что использование пластины с разрезным электродом позволяет повысить эффективность возбуждения колебаний по сравнению со случаем сплошного внутреннего электрода.

Применение в технических устройствах пластинчатых пьезопреобразователей приводит к необходимости разработки моделей и методов расчета электрических и механических полей, возникающих в пьезоактивной среде.

Среди работ, посвященных построению прикладных моделей изгиба слоистых пьезо-электрических конструкций, следует отметить работу [1], в которой проведен анализ общих закономерностей деформирования неоднородных электроупругих плит и предложен метод построения некоторого класса точных неоднородных решений.

Построение упрощенных моделей имеет большое значение для практических расчетов электроупругих полей. В [2] изложена общая схема исследования трехмерных уравнений электроупругости. В [3] с использованием гипотез о распределении электрических и механических полей задача сведена к классической задаче изгиба.

Как правило, при исследовании колебаний пьезоэлектрических пластин рассматриваются модели со сплошными электродами. В настоящей работе предложена модель пьезо-электрической биморфной плиты с внутренним разрезным электродом. Подобная задача проанализирована в работе [4] на основе уравнений, полученных в [3], где с помощью гипотез Кирхгофа для кусочно-однородной пластины получены классические уравнения колебаний относительно функции прогиба срединной поверхности биморфной плиты, причем характер распределения электрических полей не учитывался.

Изучение колебаний слоистых пластин с разрезными электродами представляет интерес в связи с возможностью эффективного возбуждения определенных мод колебаний. В настоящей работе представлена модель изгибных колебаний двухслойной пластины с разрезным внутренним электродом, построенная с использованием вариационного уравнения для пьезоэлектрической среды, являющегося обобщением принципа Гамильтона в теории упругости.

Работа выполнена при частичной финансовой поддержке Российского фонда фундаментальных исследований (код проекта 99-01-01011).

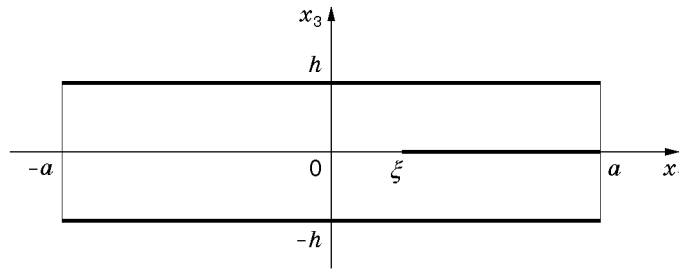


Рис. 1

Рассмотрим плоскую задачу об установившихся изгибных колебаниях бесконечной в направлении x_2 ленточной пластины, состоящей из двух пьезокерамических слоев одинаковой толщины, поляризованных в направлении оси x_3 . Выберем начало координат на срединной плоскости пластины. Считаем, что все рассматриваемые функции не зависят от переменной x_2 .

Пусть на лицевые поверхности пластины $x_3 = \pm h$ нанесены электроды (поверхности электродированы) и между слоями в плоскости $x_3 = 0$ имеется бесконечно тонкий разрезной электрод. Сечение пластины срединной плоскостью обозначим через $\Omega = \Omega_1 \cup \Omega_2$, где область Ω_1 является неэлектродированной, а область Ω_2 — электродированной. Пусть $\Omega_1 = \{(x_1, x_2): x_1 \in [-a, \xi], x_2 \in (-\infty, +\infty)\}$, $\Omega_2 = \{(x_1, x_2): x_1 \in [\xi, a], x_2 \in (-\infty, +\infty)\}$, где $\xi \in (-a, a)$ — координата точки раздела электродированной и неэлектродированной областей (рис. 1). Колебания возбуждаются разностью потенциалов на лицевых поверхностях и внутреннем разрезном электроде: $\varphi|_{x_3=0} = V_0 e^{i\omega t}$, $x_1 \in \Omega_2$; $\varphi|_{x_3=\pm h} = 0$, где φ — электрический потенциал; ω — частота колебаний; $V_0 = \text{const}$ — заданная амплитуда.

Колебания пластины описываются следующими уравнениями [2]:

$$\sigma_{ij,j} = -\rho\omega^2 u_i, \quad D_{i,i} = 0,$$

где σ_{ij} — компоненты тензора напряжений; D_i — компоненты вектора электрической индукции; $i, j = 1, 3$; ρ — плотность пьезокерамики. Считается, что боковая поверхность пластины свободна от напряжений: $\sigma_{11} = 0$, $\sigma_{13} = 0$ при $x_1 = \pm a$. На лицевых поверхностях $x_3 = \pm h$ нагрузки отсутствуют: $\sigma_{13} = \sigma_{33} = 0$. Пусть внешней средой является воздух, тогда $D_1 = 0$ при $x_1 = \pm a$.

Определяющие соотношения для электроупругой среды, поляризованной в направлении оси x_3 , имеют вид [2]

$$\begin{aligned} \sigma_{11} &= c_{11}^E \varepsilon_{11} + c_{13}^E \varepsilon_{33} + e_{31} \varphi_{,3}, & \sigma_{33} &= c_{13}^E \varepsilon_{11} + c_{33}^E \varepsilon_{33} + e_{33} \varphi_{,3}, & \sigma_{13} &= 2c_{44}^E \varepsilon_{13} + e_{31} \varphi_{,1}, \\ D_1 &= 2e_{15} \varepsilon_{13} - \epsilon_{11}^S \varphi_{,1}, & D_3 &= e_{31} \varepsilon_{11} + e_{33} \varepsilon_{33} + \epsilon_{33}^S \varphi_{,3}. \end{aligned} \tag{1}$$

Здесь ε_{ij} — компоненты тензора деформаций; c_{ij}^E — модули упругости, измеренные при постоянном электрическом поле; e_{31} , e_{33} , e_{15} — пьезоэлектрические постоянные; ϵ_{11}^S , ϵ_{33}^S — диэлектрические проницаемости при постоянных деформациях.

Далее при построении модели воспользуемся некоторыми упрощениями. Примем следующие гипотезы Кирхгофа о распределении перемещений по толщине: $u_1(x_1, x_3) = -x_3 w_{,1}$, $u_3(x_1, x_3) = w(x_1)$, где функция $w(x_1)$ — прогиб срединной поверхности пластины. В соответствии с гипотезами Кирхгофа полагаем, что всюду в области, занятой пластиной, нормальное напряжение $\sigma_{33} = 0$. С помощью определяющего соотношения для σ_{33} исключим деформацию ε_{33} из уравнений состояния пьезоэлектрической среды (1):

$$\sigma_{11} = c_{11}^* u_{1,1} + e_{31}^* \varphi_{,3}, \quad D_3 = e_{31}^* u_{1,1} - \epsilon_{33}^* \varphi_{,3}. \tag{2}$$

Здесь $c_{11}^* = c_{11}^E - (c_{13}^E)^2/c_{33}^E$; $e_{31}^* = e_{31} - c_{13}^E e_{33}/c_{33}^E$; $\epsilon_{33}^* = \epsilon_{33}^S + e_{33}^2/c_{33}^E$. Выражения для σ_{13} , D_1 останутся прежними.

В отличие от [3, 4], где задача сведена к уравнению одной функции, введем в рассмотрение две функции. Пусть функция $V(x_1)$ есть значение электрического потенциала $\varphi(x_1, x_3)$ на срединной плоскости $x_3 = 0$. В неэлектропроводной области Ω_1 значение этой функции неизвестно, а в области Ω_2 $V(x_1) = V_0$. Очевидно, что функция электрического потенциала является непрерывной. Однако при наличии внутреннего электрода производная $\varphi_{,3}$ не является непрерывной при $x_3 = 0$. Поэтому на центральном электроде $x_3 = 0$ нормальная составляющая D_3 вектора электрической индукции имеет скачок, который обозначим $q(x_1) = D_3(x_1, +0) - D_3(x_1, -0)$. Заметим, что в области Ω_1 функция D_3 непрерывна, поэтому в ней $q(x_1) \equiv 0$.

Будем считать, что электрический потенциал имеет следующее распределение по координате x_3 :

$$\varphi(x_1, x_3) = \left(1 - \frac{x_3^2}{h^2}\right)V(x_1) + \frac{h}{2\epsilon_{33}^*} \left(\frac{x_3^2}{h^2} - \frac{|x_3|}{h}\right)q(x_1). \quad (3)$$

При выборе потенциала в виде (3) автоматически выполняются граничные условия на электрический потенциал на торцах $x_3 = \pm h$ и внутреннем электроде, в том числе условие разрывности $\varphi_{,3}$.

Воспользуемся вариационным уравнением, которое обобщает принцип Гамильтона в теории электроупругости и в случае стационарных колебаний при отсутствии массовых сил, поверхностных нагрузок и поверхностных зарядов для плоской деформации имеет вид [2]

$$\int_{-a}^a \int_{-h}^h \delta H dx_3 dx_1 - \rho\omega^2 \int_{-a}^a \int_{-h}^h u_i \delta u_i dx_3 dx_1 = 0. \quad (4)$$

Электрическая энтальпия $H = U - E_i D_i$, где U — внутренняя энергия, является функцией деформаций ε_{ij} и электрического поля E_i . Вариация энтальпии имеет вид $\delta H = \sigma_{ij} \delta \varepsilon_{ij} - D_i \delta E_i$. С учетом принятых гипотез получим

$$\delta H = \sigma_{11} \delta \varepsilon_{11} - D_1 \delta E_1 - D_3 \delta E_3. \quad (5)$$

Вычислим компоненты тензора напряжений и вектора электрической индукции в каждой области по формулам (1), (2) и подставим полученные выражения в (5). Пусть δH^I и δH^{II} — вариации энтальпии в области Ω_1 и области с внутренним электродом Ω_2 соответственно. Проварьируем δH^I на отрезке $[-a, \xi]$, δH^{II} на отрезке $[\xi, a]$. Полученные выражения проинтегрируем по толщине. Используя вариационное уравнение (4), получим уравнения, содержащие независимые вариации δw^I , δV в области Ω_1 и δw^{II} , δq в области Ω_2 . Приравнявая к нулю коэффициенты при независимых вариациях, получим следующие системы дифференциальных уравнений:

$$\begin{aligned} a_{11} \frac{d^4 w^I}{dx_1^4} + a_{12} \frac{d^2 V}{dx_1^2} + \frac{2}{3} h^3 \rho \omega^2 \frac{d^2 w^I}{dx_1^2} - 2h \rho \omega^2 w^I &= 0, \\ a_{21} \frac{d^2 w^I}{dx_1^2} + a_{22} \frac{d^2 V}{dx_1^2} - a_{23} V &= 0, \quad x_1 \in \Omega_1, \\ a_{11} \frac{d^4 w^{II}}{dx_1^4} - a_{13} \frac{d^2 q}{dx_1^2} + \frac{2}{3} h^3 \rho \omega^2 \frac{d^2 w^{II}}{dx_1^2} - 2h \rho \omega^2 w^{II} &= 0, \end{aligned}$$

$$a_{31} \frac{d^2 w^{\text{II}}}{dx_1^2} - a_{32} \frac{d^2 q}{dx_1^2} + a_{33} q - \frac{1}{3} V_0 = 0, \quad x_1 \in \Omega_2.$$

Коэффициенты в уравнениях зависят от физических констант материала и геометрических размеров пластины:

$$\begin{aligned} a_{11} &= (2/3)h^3 c_{11}^*, & a_{12} &= a_{21} = (4/3)h e_{31}^*, & a_{22} &= (16/15)h \epsilon_{11}^S, \\ a_{23} &= \frac{8}{3h} \epsilon_{33}^*, & a_{13} &= a_{31} = \frac{h^2}{6} \frac{e_{31}^*}{\epsilon_{33}^*}, & a_{32} &= \frac{h^3}{60} \frac{\epsilon_{11}^S}{(\epsilon_{33}^*)^2}, & a_{33} &= \frac{1}{6} \frac{h}{\epsilon_{33}^*}. \end{aligned}$$

Граничные условия получим, приравняв к нулю коэффициенты при независимых вариациях во внеинтегральных слагаемых:

$$\begin{aligned} a_{11} \frac{d^3 w^{\text{I}}}{dx_1^3} + a_{12} \frac{dV}{dx_1} + \frac{2}{3} h^3 \rho \omega^2 \frac{dw^{\text{I}}}{dx_1} = 0, & \quad a_{11} \frac{d^2 w^{\text{I}}}{dx_1^2} + a_{12} V = 0, & \quad \frac{dV}{dx_1} = 0 & \quad \text{при } x_1 = -a, \\ a_{11} \frac{d^3 w^{\text{II}}}{dx_1^3} - a_{13} \frac{dq}{dx_1} + \frac{2}{3} h^3 \rho \omega^2 \frac{dw^{\text{II}}}{dx_1} = 0, & \quad a_{11} \frac{d^2 w^{\text{II}}}{dx_1^2} + a_{12} V_0 - a_{13} q = 0, & \quad \frac{dq}{dx_1} = 0 & \quad \text{при } x_1 = -a. \end{aligned}$$

На границе областей $x_1 = \xi$ в качестве условий сопряжения потребуем непрерывности прогиба и угла поворота $w^{\text{I}} = w^{\text{II}}$, $dw^{\text{I}}/dx_1 = dw^{\text{II}}/dx_1$. Приравнявая коэффициенты во внеинтегральных слагаемых в вариационных уравнениях при соответствующих вариациях δw^{I} и δw^{II} , $d\delta w^{\text{I}}/dx_1$ и $d\delta w^{\text{II}}/dx_1$, δq , получим еще три условия согласования:

$$\begin{aligned} a_{11} \left(\frac{d^3 w^{\text{I}}}{dx_1^3} - \frac{d^3 w^{\text{II}}}{dx_1^3} \right) + \frac{2}{3} h^3 \rho \omega^2 \left(\frac{dw^{\text{I}}}{dx_1} - \frac{dw^{\text{II}}}{dx_1} \right) + a_{12} \frac{dV}{dx_1} + a_{13} \frac{dq}{dx_1} = 0, \\ a_{11} \left(\frac{d^2 w^{\text{I}}}{dx_1^2} - \frac{d^2 w^{\text{II}}}{dx_1^2} \right) + a_{12} (V - V_0) - a_{13} q = 0, & \quad \frac{dq}{dx_1} = 0. \end{aligned}$$

Потребуем также непрерывности потенциала при переходе через границу: $V = V_0$ при $x_1 = \xi$.

Таким образом, получаем две системы дифференциальных уравнений относительно четырех неизвестных функций: функций прогиба w^{I} и потенциала V в области Ω_1 , а также функций прогиба w^{II} и скачка нормальной составляющей вектора электрической индукции на срединной поверхности q в области Ω_2 . В каждой системе одно из уравнений имеет четвертый порядок относительно функции прогиба.

Используя построенную модель, находим частоты резонанса ω_r . Частоты антирезонанса ω_a определим из условия равенства нулю тока, проходящего через электрод:

$$I = -i\omega \int_S D_3 ds = 0. \text{ В качестве поверхности } S \text{ возьмем лицевой электрод } x_3 = h. \text{ Тогда}$$

условие для определения антирезонансных частот будет иметь вид

$$\int_{-a}^{\xi} \left(h e_{31}^* \frac{d^2 w^{\text{I}}}{dx_1} - \frac{2}{h} \epsilon_{33}^* V \right) dx_1 + \int_{\xi}^a \left(h e_{31}^* \frac{d^2 w^{\text{II}}}{dx_1} - \frac{2}{h} \epsilon_{33}^* V_0 + \frac{1}{2} q \right) dx_1 = 0.$$

Поставленная задача решалась для пластины с соотношением сторон $h/a = 0,1$, выполненной из пьезокерамики ЦТС-19 [5]. Выполнена серия расчетов для определения частот ω_r и ω_a при различных значениях ξ . Эффективность колебаний оценивалась по величине динамического коэффициента электромеханической связи [2] $k_d^2 = (\omega_a^2 - \omega_r^2)/\omega_a^2$.

ξ	l	Вариационный принцип		Теория Кирхгофа		МКЭ	
		ω_r^*	ω_a^*	ω_r^*	ω_a^*	ω_r^*	ω_a^*
Первая мода							
-0,5	0,75	1,0338	1,1152	0,9729	0,9834	1,0175	1,0422
0,1	0,45	1,0743	1,1108	0,9902	0,9939	1,0595	1,0672
0,8	0,10	1,1152	1,1155	1,0007	1,0008	1,0988	1,0989
Вторая мода							
-0,5	0,75	2,8005	2,8056	2,6717	2,6718	2,6561	2,6592
0,1	0,45	2,8879	2,9940	2,7214	2,7363	2,7423	2,7649
0,8	0,10	2,9931	2,9972	2,7704	2,7705	2,8498	2,8508

Примечание. $\omega_r^* = \omega_r \cdot 10^{-5}$ Гц, $\omega_a^* = \omega_a \cdot 10^{-5}$ Гц.

Проведено сравнение частот колебаний предложенной модели с частотами, полученными согласно теории [4], построенной на основе классических гипотез Кирхгофа, и частотами, рассчитанными для электроупругого прямоугольника по методу конечного элемента. Некоторые частоты резонанса ω_r и антирезонанса ω_a для первых двух мод колебаний приведены в таблице ($l = (a - \xi)/(2a)$ — относительная длина электродированной поверхности Ω_2). Частоты монотонно возрастают при уменьшении длины электрода l , антирезонансные частоты не превосходят по величине частоты резонанса. Эти результаты согласуются с положениями, выведенными теоретически в [6], и с результатами, полученными численно в [4].

Первые частоты представленной модели и модели [4] отличаются от первых частот, полученных методом конечного элемента, на 1–2 и 4–9% соответственно. Погрешность вторых частот относительно частот, полученных методом конечных элементов (МКЭ), составляет 4–5% по представленной теории и 1–3% по теории [4].

На рис. 2 представлены зависимости динамического коэффициента электромеханической связи k_d^2 от относительной длины электрода l для первых четырех мод колебаний (кривые 1–4). Точки соответствуют значениям, полученным численным расчетом по представленной модели. Значению $l = 1$ соответствует случай сплошного электрода. Из полученных результатов следует, что для каждой моды колебаний возможно такое разрезание внутреннего электрода, при котором эффективность возбуждения колебаний выше,

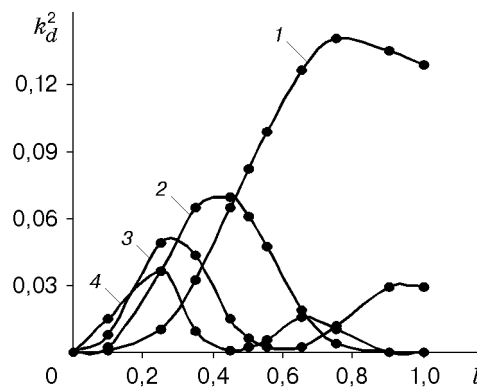


Рис. 2

чем в случае сплошного электрода. Для первой моды увеличение коэффициента k_d^2 может составить примерно 9% при относительной длине внутреннего электрода 0,70–0,85. При необходимости возбуждения более высоких мод для повышения эффективности следует уменьшать длину электрода и выбирать ее в диапазоне от 0,3 до 0,5 для второй моды и от 0,2 до 0,4 для третьей и четвертой мод колебаний.

ЛИТЕРАТУРА

1. Гетман И. П., Устинов Ю. А. К теории неоднородных электроупругих плит // Прикл. математика и механика. 1979. Т. 43, № 5. С. 923–932.
2. Партон В. З., Кудрявцев Б. А. Электромагнитоупругость пьезоэлектрических и электропроводных тел. М.: Наука, 1988.
3. Ватульян А. О., Гетман И. П., Лапицкая Н. Б. Об изгибе пьезоэлектрической биморфной пластины // Прикл. механика. 1991. Т. 27, № 10. С. 101–105.
4. Ватульян А. О., Рынкова А. А. К вопросу о расчете изгибных колебаний пьезоэлектрической биморфной пластины с разрезным электродом // Дефектоскопия. 1998. № 3. С. 61–66.
5. Аронов Б. С. Электромеханические преобразователи из пьезоэлектрической керамики. Л.: Энергоатомиздат. Ленингр. отд-ние, 1990.
6. Белоконь А. В., Наседкин А. В. О некоторых свойствах собственных частот электроупругих тел ограниченных размеров // Прикл. математика и механика. 1996. Т. 60, № 1. С. 151–158.

*Поступила в редакцию 25/II 2000 г.,
в окончательном варианте — 19/IV 2000 г.*
